

名古屋工業大学

学生員 〇古川一吉

ク

正員 松岡元

提案している空間滑動面(Spatial Mobilized Plane; SMP)に基づいた土の応力・ひずみ・時間関係式<sup>1)</sup>によって、非排水三軸圧縮条件下の応力・ひずみ関係、有効応力径路に及ぼすひずみ速度の影響、および非排水三軸圧縮条件下のクリープ特性を解析したので報告する。計算に用いた土質パラメータには粘土的な値を想定している。なお、解析結果は図2)の成果と1, 2の点を除いて類似した傾向を示した。

1. 空間滑動面に基づいた応力・ひずみ・時間関係式

土の変形は、等方圧密成分と方向性をもった主粒子間の相対移動によって生じるダイレイタンシー成分が主成分と考えられる。主ひずみ増大ベクトル(dε<sub>1</sub>, dε<sub>2</sub>, dε<sub>3</sub>)の空間滑動面に平行な成分、垂直な成分をdδ<sub>SMP</sub><sup>\*</sup>, dε<sub>SMP</sub><sup>\*</sup>と表記すれば、ダイレイタンシーによるδ<sub>SMP</sub><sup>\*</sup>は次のように表わされる<sup>3)</sup>。

$$\delta_{SMP}^* = \delta_0^* \left\{ \exp\left(\frac{X - \mu^*}{\mu^* - \mu^*}\right) - \exp\left(\frac{-\mu^*}{\mu^* - \mu^*}\right) \right\} \quad (1)$$

ここに、μ<sup>\*</sup>, μ<sup>\*</sup>, δ<sub>0</sub><sup>\*</sup>は土質パラメータであり、XはSMP上のせん断有効垂直応力比 τ<sub>SMP</sub>/σ<sub>SMP</sub>である。そして、パラメータδ<sub>0</sub><sup>\*</sup>は時間tや平均有効主応力σ<sub>m</sub>との間に次に示す関係が成立する<sup>1)</sup>。

$$\delta_0^*(t) = \delta_{00}^* + a_0 \cdot \log_{10}(t/t_{00}) \quad (2)$$

$$\delta_{00}^*(\sigma_m) = \delta_{0b}^* + C_d^* \cdot \log_{10}(\sigma_m/\sigma_{mb}) \quad (t=t_{00}) \quad (3)$$

ここに、δ<sub>00</sub><sup>\*</sup>はt=t<sub>00</sub>でのδ<sub>0</sub><sup>\*</sup>、δ<sub>0b</sub><sup>\*</sup>はσ<sub>m</sub>=σ<sub>mb</sub>(基準とする平均主応力)でのδ<sub>00</sub><sup>\*</sup>を意味し、a<sub>0</sub>, C<sub>d</sub><sup>\*</sup>はパラメータである。ここで、式(2)中のt/t<sub>00</sub>とひずみ速度δ̇<sub>SMP</sub><sup>\*</sup>、終局ひずみ速度δ̇<sub>SMP∞</sub><sup>\*</sup>との間には、式(1), (2)より次の関係が成立する。

$$t/t_{00} = \delta_{SMP\infty}^* / \delta_{SMP}^* \quad (4)$$

式(4)を式(2)に代入すると、式(1)はδ<sub>SMP</sub><sup>\*</sup>のtに関する微分方程式となる。そこで、t=0のときδ<sub>SMP</sub><sup>\*</sup>=0なる条件のもとに、式(1)を解きなおせば次式を得る。

$$\delta_{SMP}^* = 0.434 a_0 \ln \left\{ 1 + \frac{t}{t_{00}} \exp\left(\frac{\delta_{00}^*}{0.434 a_0}\right) \right\} \left\{ \exp\left(\frac{X - \mu^*}{\mu^* - \mu^*}\right) - \exp\left(\frac{-\mu^*}{\mu^* - \mu^*}\right) \right\} \quad (5)$$

ここでδ<sub>SMP</sub><sup>\*</sup>は応力比X、平均主応力σ<sub>m</sub>、時間tの関数と考えられるので、全微分をとれば次式を得る。

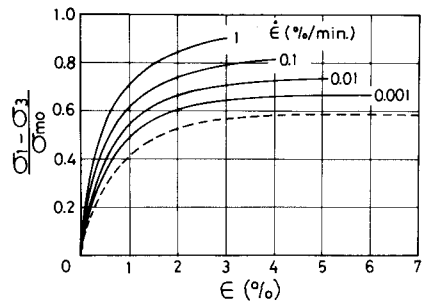
$$d\delta_{SMP}^* = (\partial \delta_{SMP}^* / \partial X) \cdot dX + (\partial \delta_{SMP}^* / \partial \sigma_m) \cdot d\sigma_m + (\partial \delta_{SMP}^* / \partial t) \cdot dt \quad (6)$$

式(5), (3)より式(6)の全微分を行ない、応力径路依存性を考慮すれば<sup>3)</sup>次式を得る。

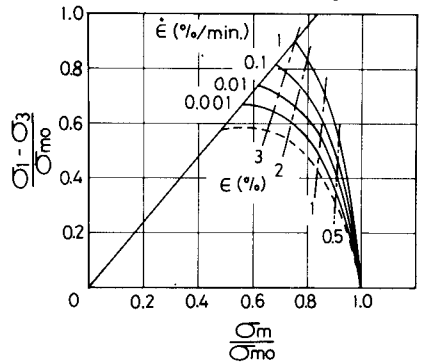
$$\begin{aligned} d\delta_{SMP}^* &= \frac{0.434 a_0}{\mu^* - \mu^*} \exp\left(\frac{X - \mu^*}{\mu^* - \mu^*}\right) \ln \left\{ 1 + \frac{\delta_{SMP\infty}^*}{\delta_{SMP}^*} \exp\left(\frac{\delta_{00}^*}{0.434 a_0}\right) \right\} \cdot dX \\ &+ 0.434 K_c \left\{ \exp\left(\frac{X - \mu^*}{\mu^* - \mu^*}\right) - \exp\left(\frac{-\mu^*}{\mu^* - \mu^*}\right) \right\} \cdot \frac{1}{1 + \frac{\delta_{SMP}^*}{\delta_{SMP\infty}^*} \exp\left(-\frac{\delta_{00}^*}{0.434 a_0}\right)} \cdot \frac{d\sigma_m}{\sigma_m} \\ &+ 0.434 a_0 \left\{ \exp\left(\frac{X - \mu^*}{\mu^* - \mu^*}\right) - \exp\left(\frac{-\mu^*}{\mu^* - \mu^*}\right) \right\} \cdot \frac{1}{1 + \frac{\delta_{SMP}^*}{\delta_{SMP\infty}^*} \exp\left(-\frac{\delta_{00}^*}{0.434 a_0}\right)} \cdot \frac{dt}{t} \end{aligned} \quad (7)$$

λ*	μ*	μ*	δ <sub>0b</sub> <sup>*</sup> (%)	C <sub>d</sub> <sup>*</sup> (%)	K <sub>c</sub> (%)
0.90	0.42	0.60	3.3	0.0	0.0
C <sub>s</sub> /(1+e <sub>0</sub> )(%)			α <sub>0</sub> (%)	δ̇ <sub>SMP∞</sub> <sup>*</sup> (%/min.)	
7.0			0.45	10 <sup>-5</sup>	

表-1 解析に用いた土質パラメータ



(a) (σ<sub>1</sub>-σ<sub>3</sub>)/σ<sub>mo</sub> ~ ε 関係



(b) (σ<sub>1</sub>-σ<sub>3</sub>)/σ<sub>mo</sub> ~ σ<sub>m</sub>/σ<sub>mo</sub> 関係

図-1 非排水三軸圧縮条件下の応力・ひずみ関係、有効応力径路に及ぼすひずみ速度の影響

Kcの決定法については文献(3)を参照されたい。なお、上式において  $dX < 0$  のときには右辺の1項=0,  $d\sigma_m < 0$  のときには右辺の2項=0 とする<sup>4)</sup>。また、ダイレイタンスによる  $d\epsilon_{SHP}^*$  は  $d\delta_{SHP}^*$  より次式で与えられる<sup>1)</sup>

$$d\epsilon_{SHP}^* = \frac{\mu^* - X}{\lambda^*} \cdot d\delta_{SHP}^* \quad (8)$$

ここに、 $\lambda^*$  は土質パラメータである。また、主ひずみ増分  $d\epsilon_i$  は等方圧縮成るひずみ増分の和と考へる次式で表わす<sup>3)</sup>。

$$d\epsilon_i = \frac{0.434}{3} \cdot \frac{C_c}{1+e_0} \cdot \frac{d\sigma_m}{\sigma_m} + a_i \cdot d\epsilon_{SHP}^* + b_i \cdot d\delta_{SHP}^* \quad (9)$$

ここで、 $a_i, b_i$  はそれぞれ  $\sigma_{SHP}, \tau_{SHP}$  の方向余弦である。なお、 $d\sigma_m < 0$  の場合には  $C_c$  の代わりに  $C_s$  (膨張係数) を用いる。

## 2. 非排水三軸圧縮条件下の応力・ひずみ関係、有効応力径路に及ぼすひずみ速度の影響

式(7)において、偏差ひずみ速度  $\dot{\epsilon} (= \dot{\epsilon}_1 - \dot{\epsilon}_3)$  を一定のパラメータとし、非排水条件を考慮して  $(\sigma_1 - \sigma_3)$  と  $\sigma_m$  の  $t$  に関する連立常微分方程式を導び、ルンゲ・クッタ・ギル法で解析した。土質パラメータは表-1の値を用いた。図-1(a)に偏差応力  $(\sigma_1 - \sigma_3)/\sigma_{m0}$  と偏差ひずみ  $\epsilon$  の関係、図-1(b)に  $(\sigma_1 - \sigma_3)/\sigma_{m0}$  と  $\sigma_m/\sigma_{m0}$  の関係の解析結果を示す。図-2 非排水三軸圧縮条件下のクリープ特性

なお、 $\sigma_{m0}$  はせん断応力載荷直前の平均有効主応力を意味する。両図中の破線は  $t = t_{\infty} (\delta_{SHP}^* = \delta_{SHP, \infty}^*)$  における関係を示している。これらの解析結果は、偏差ひずみ速度  $\dot{\epsilon}$  が大きくなるにつれて偏差応力  $(\sigma_1 - \sigma_3)/\sigma_{m0}$  が増加するという特性をよく表現している。また、図-1(b)中の一点鎖線は等ひずみ線を表わしているが、 $\epsilon = 0.5\%, 1\%, 2\%, 3\%$  と大きくなるに従って傾きが少々小さくなるようである。

## 3. 非排水三軸圧縮条件下のクリープ特性

式(7)において、 $(\sigma_1 - \sigma_3)$  を一定のパラメータとし、非排水条件を考慮して  $\sigma_m$  と  $\epsilon$  の  $t$  に関する連立常微分方程式を導び、上記と同じ方法で解析した。図2-(a)に  $\epsilon \sim t$  関係、図2-(b)に  $\epsilon \sim \log_{10} t$  関係の解析結果を示す。この解析では上限降伏値は  $(\sigma_1 - \sigma_3)/\sigma_{m0} = 0.59$  で与えられるが、上限降伏値より小さい応力ではクリープがやがて止まり、上限降伏値より大きい応力ではクリープ破壊を生じるのがみられる。また、最小ひずみ速度  $\dot{\epsilon}_{min}$  と破壊時間  $t_f$  との関係は青藤・上沢<sup>5)</sup> により与えられた範囲内には、おおよそ興味深い。

謝辞 日頃御援助をいただいている本学山内村彦教授、有益な助言をいただいた金沢大学関口秀雄助教、本学中井照夫講師に謝意を表します。

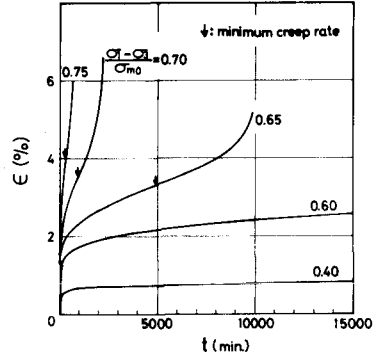
参考文献 1) 松岡・古川・平尾(1981); 第16回土質工学研究発表会 投稿中。

2) H. Sekiguchi (1977); Proc. 9th Int. Conf. S.M.F.E., Vol. 1, pp. 289-292.

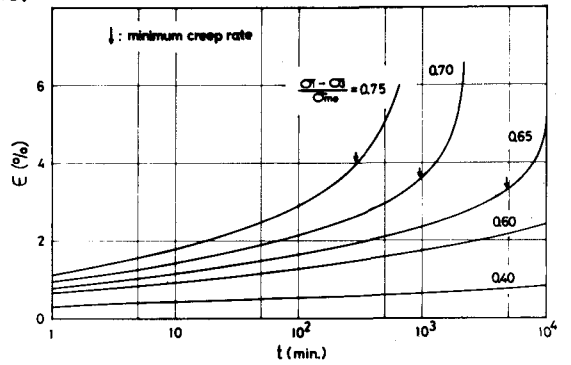
3) 中井・松岡(1981); 土木学会論文報告集, 第306号, pp. 23-24.

4) 中井(1980); 第15回土質工学研究発表会, pp. 785-788.

5) Saito, M. and H. Uezawa (1961); Proc. 5th Int. Conf. S.M.F.E., Vol. 1, pp. 315-318.



(a)  $\epsilon \sim t$  関係



(b)  $\epsilon \sim \log_{10} t$  関係